

Oscilloscopes



Osciloscopios

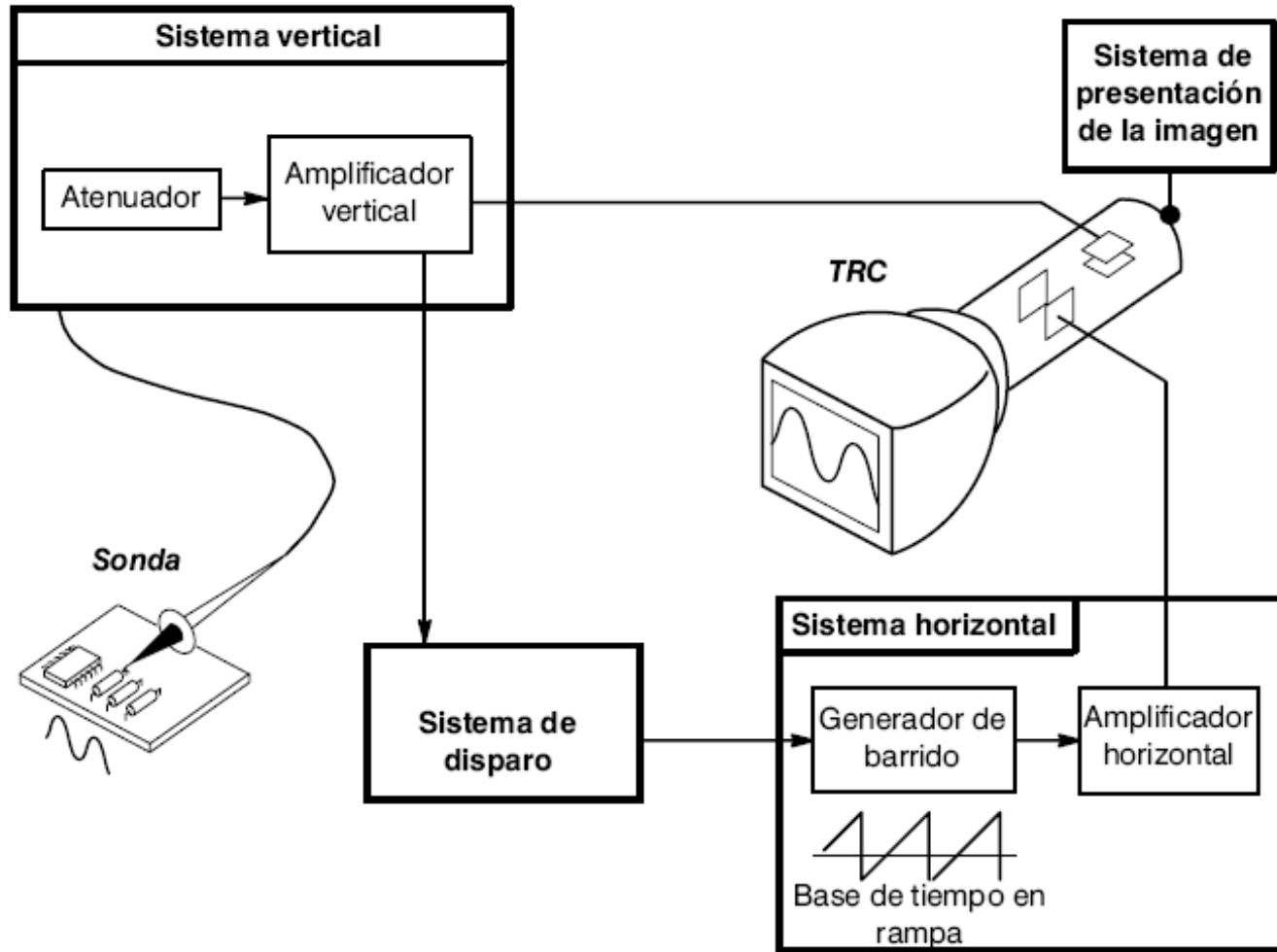
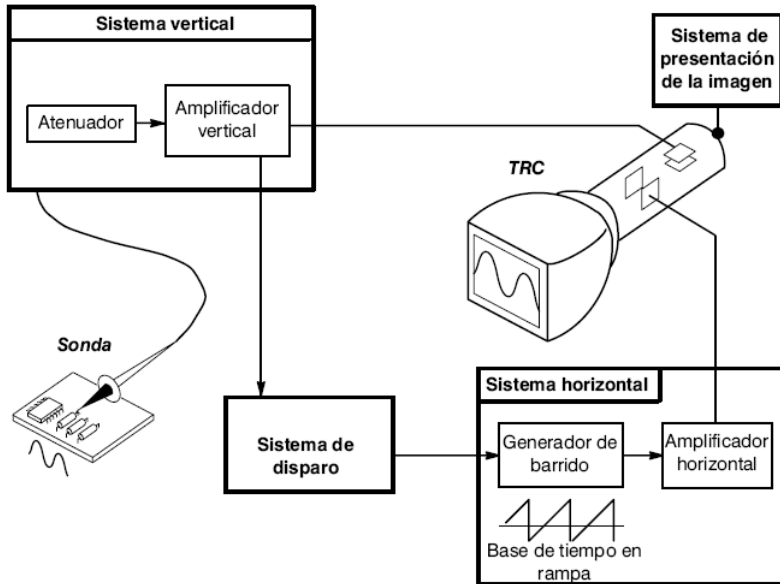


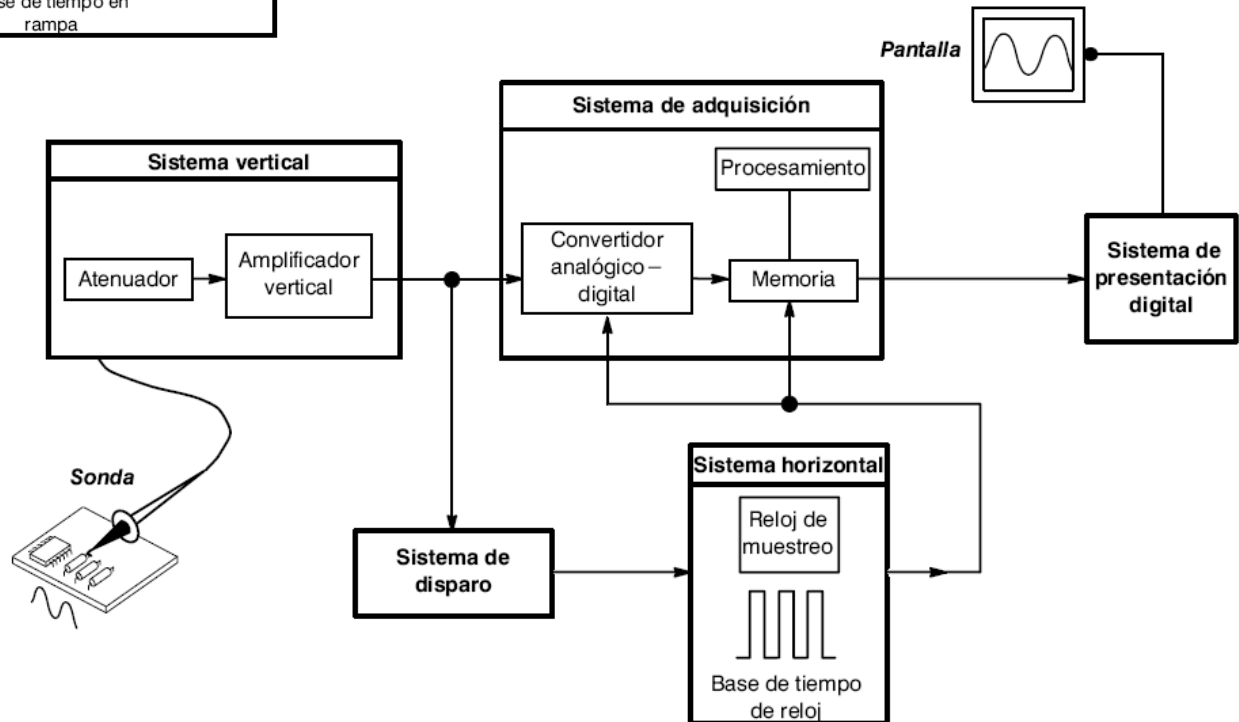
Diagrama en bloques simplificado de un Osciloscopio Analógico

Comparación

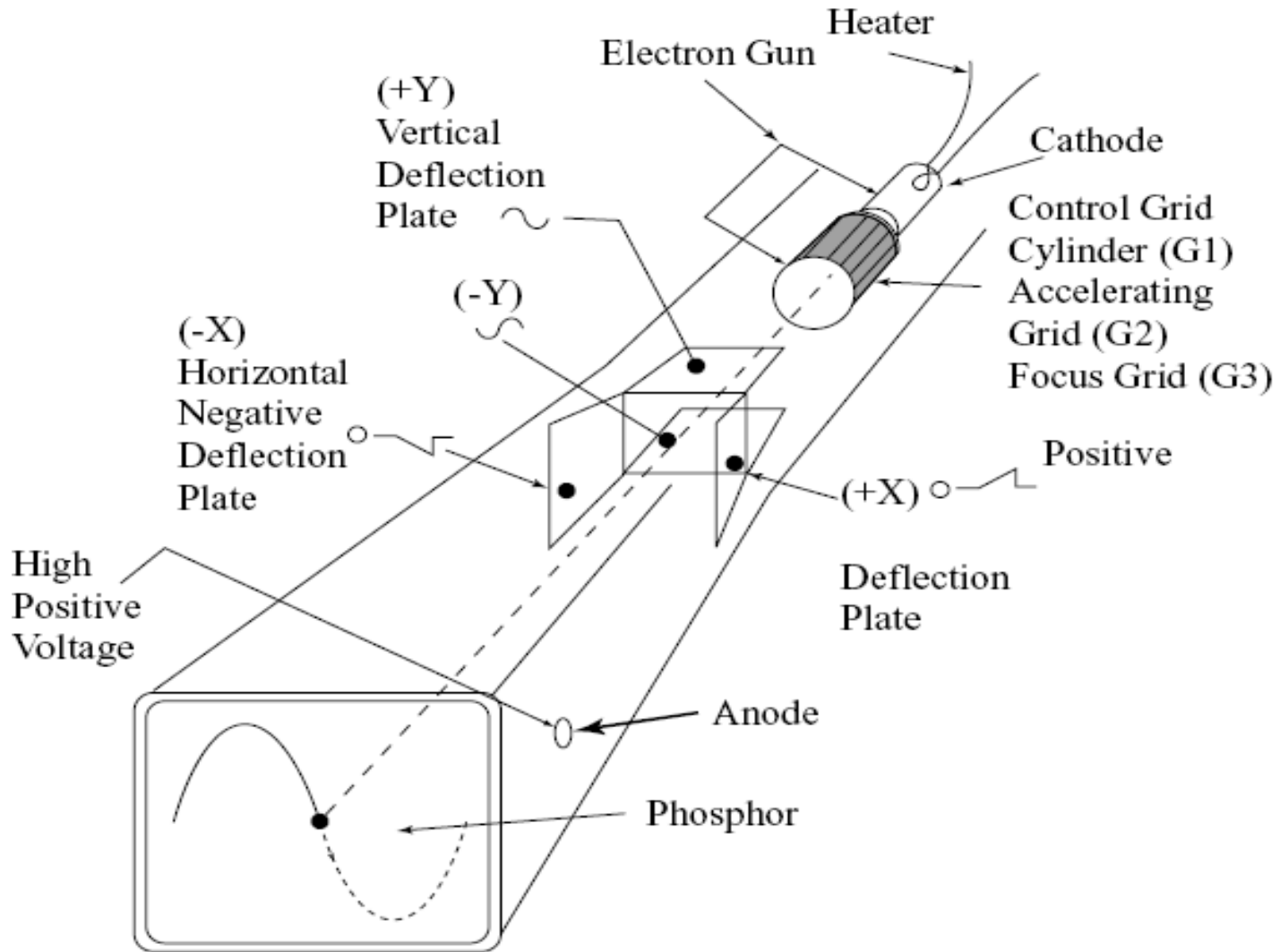
Osciloscopio Analógico

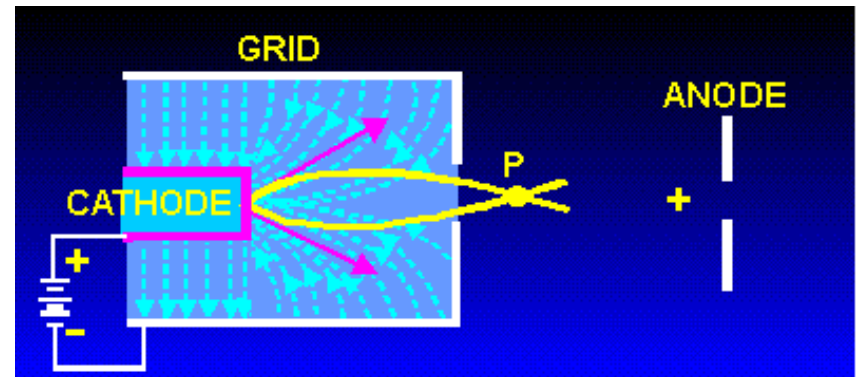
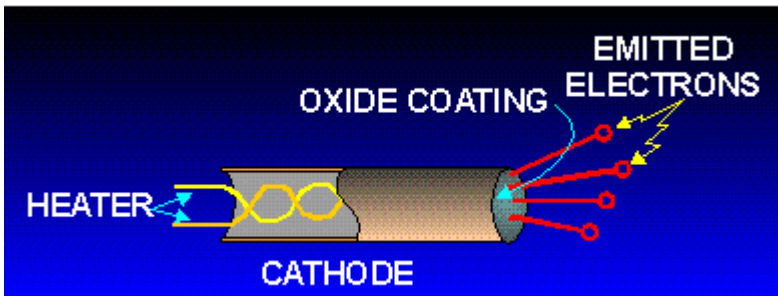
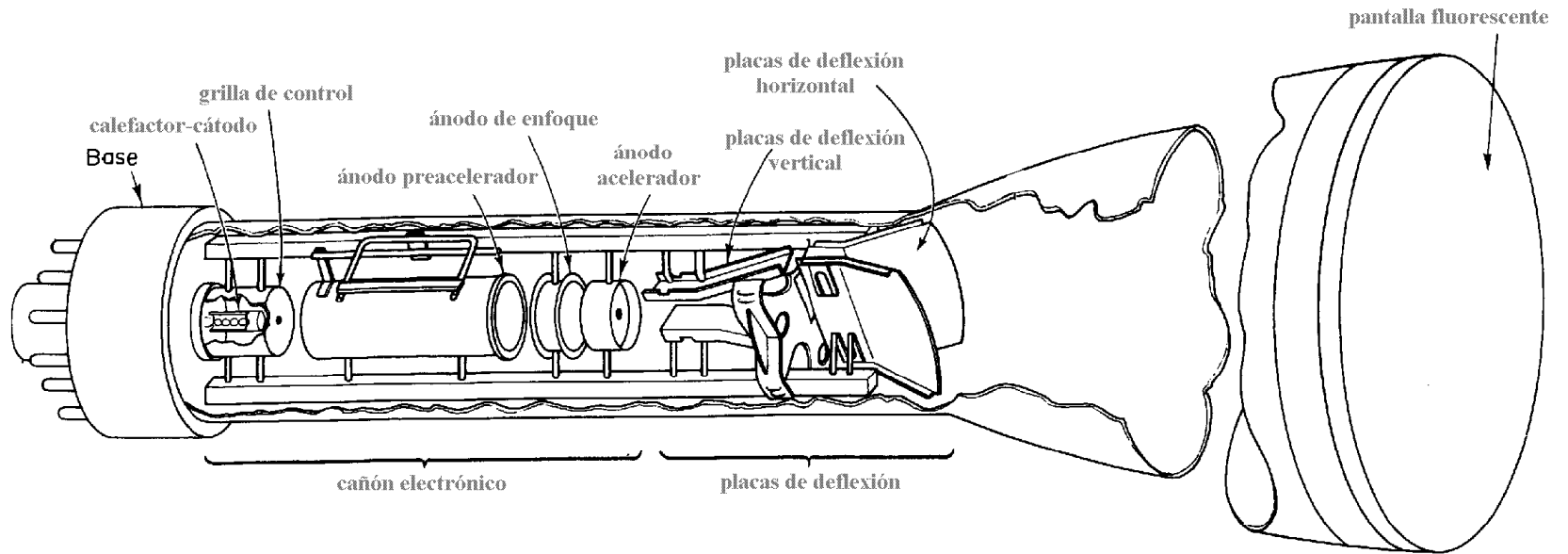


Osciloscopio Digital

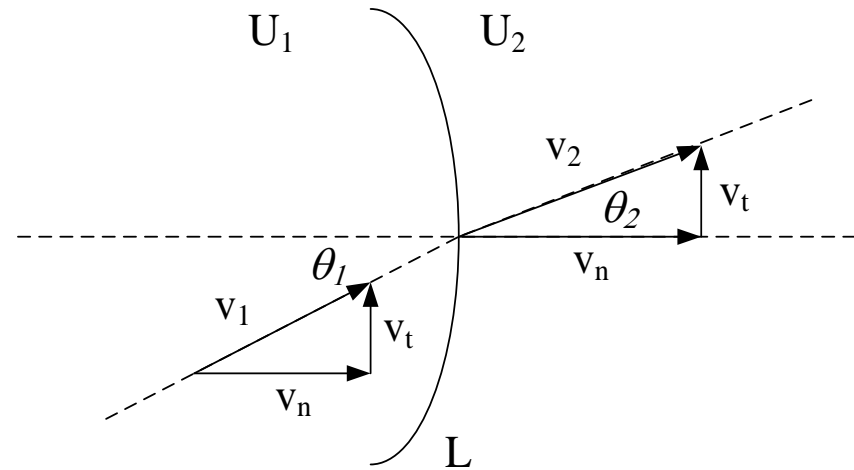
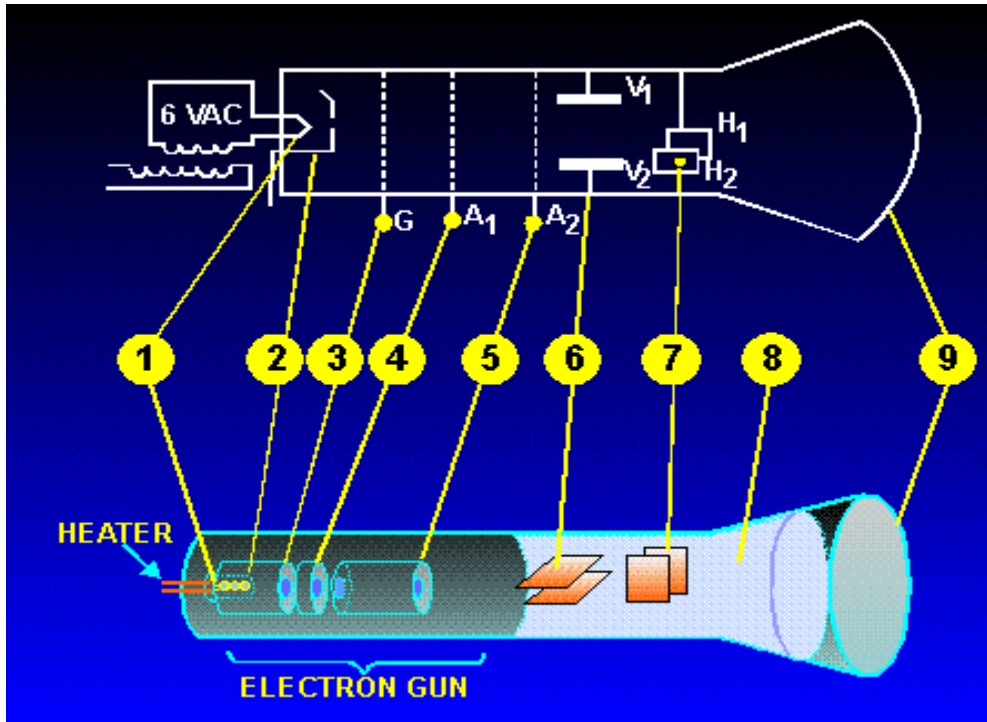


tubo de Rayos Catódicos (TRC o CRT)



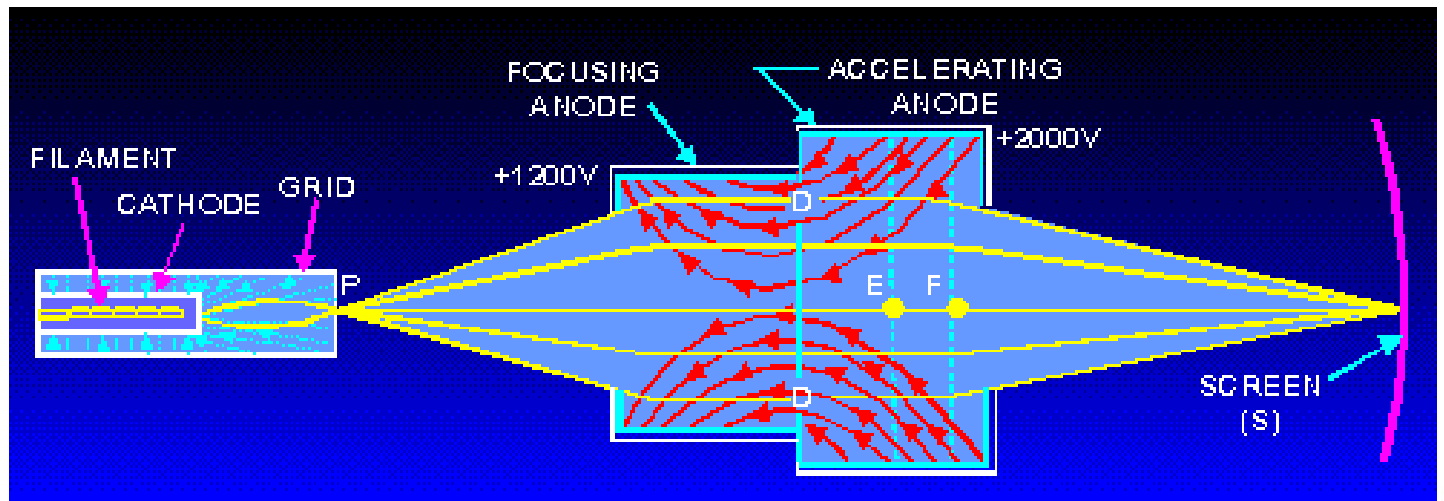


Cañón electrónico

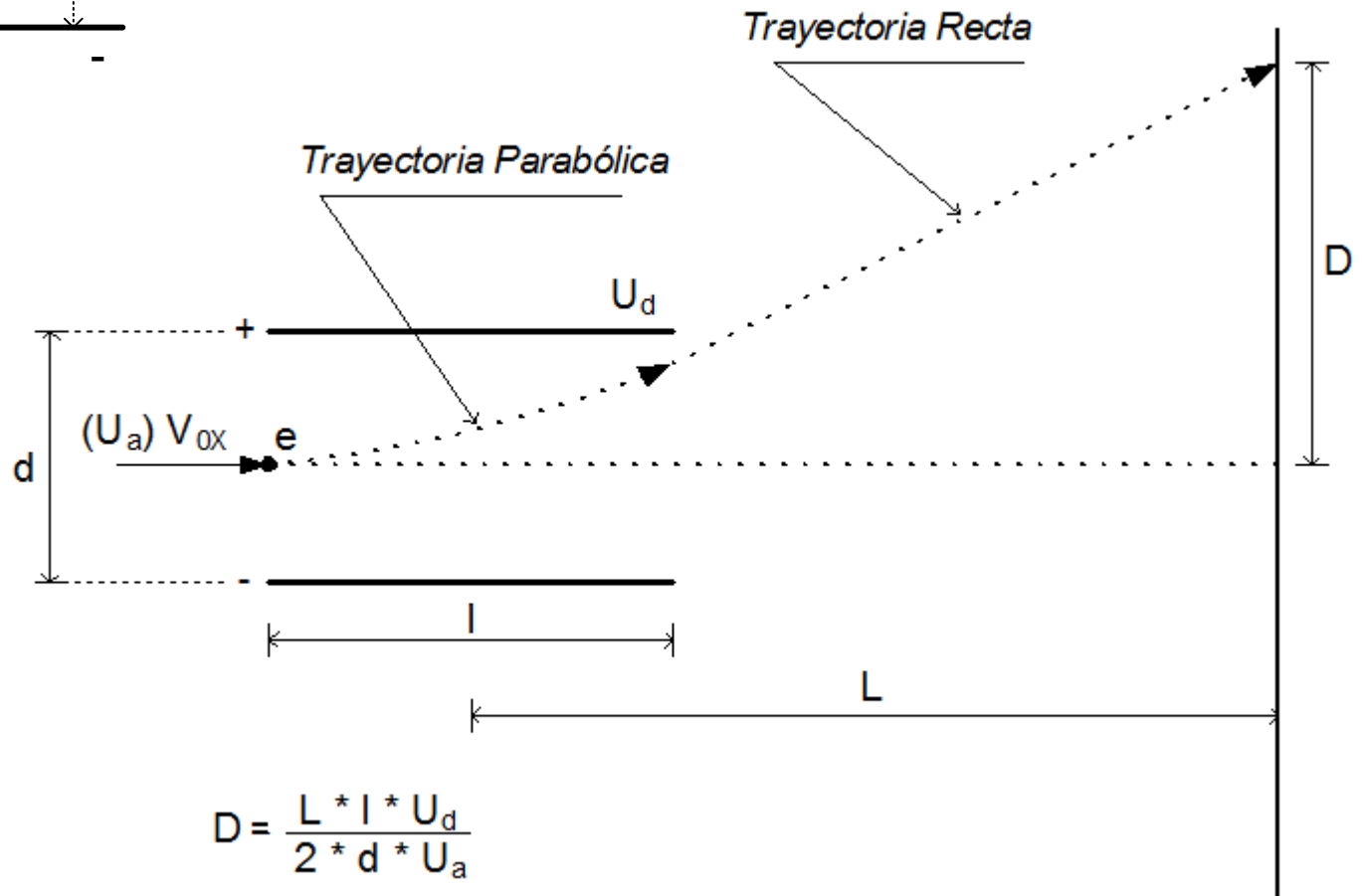
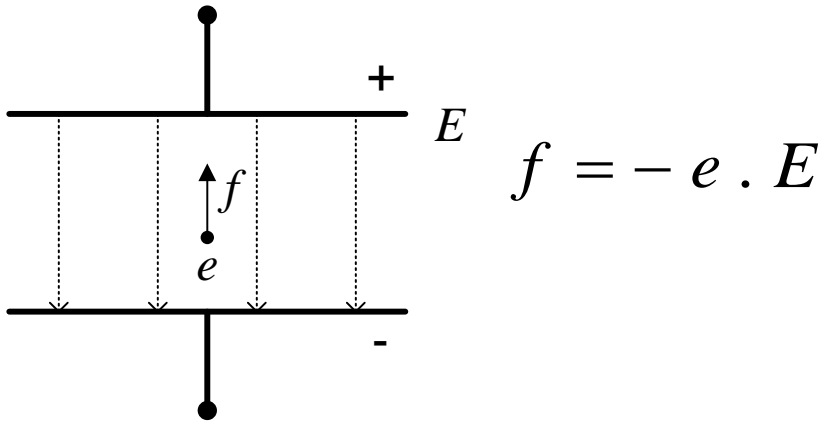


$$\frac{\sin \theta_1}{\sin \theta_2} = \sqrt{\frac{U_2}{U_1}}$$

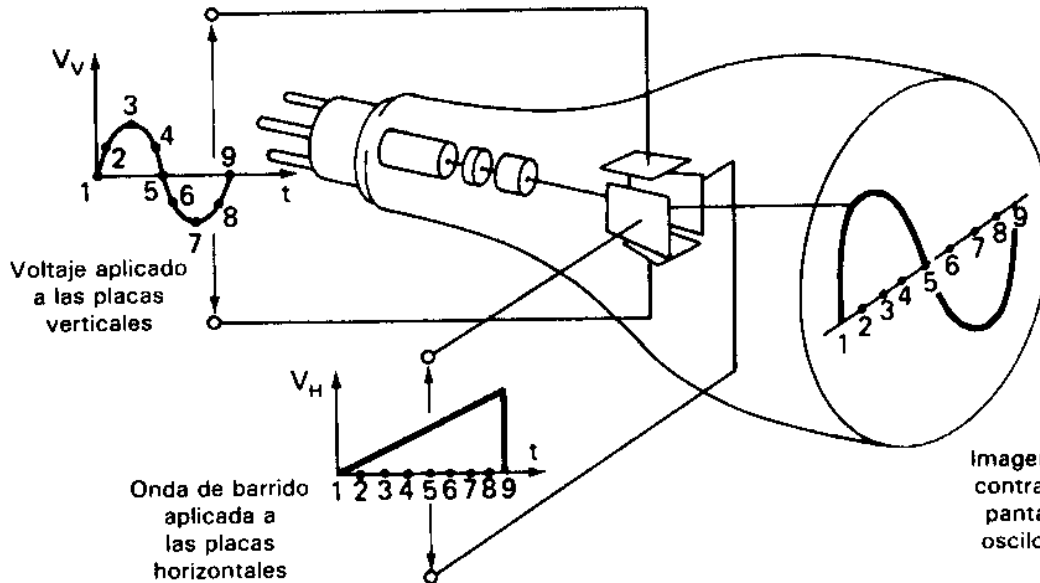
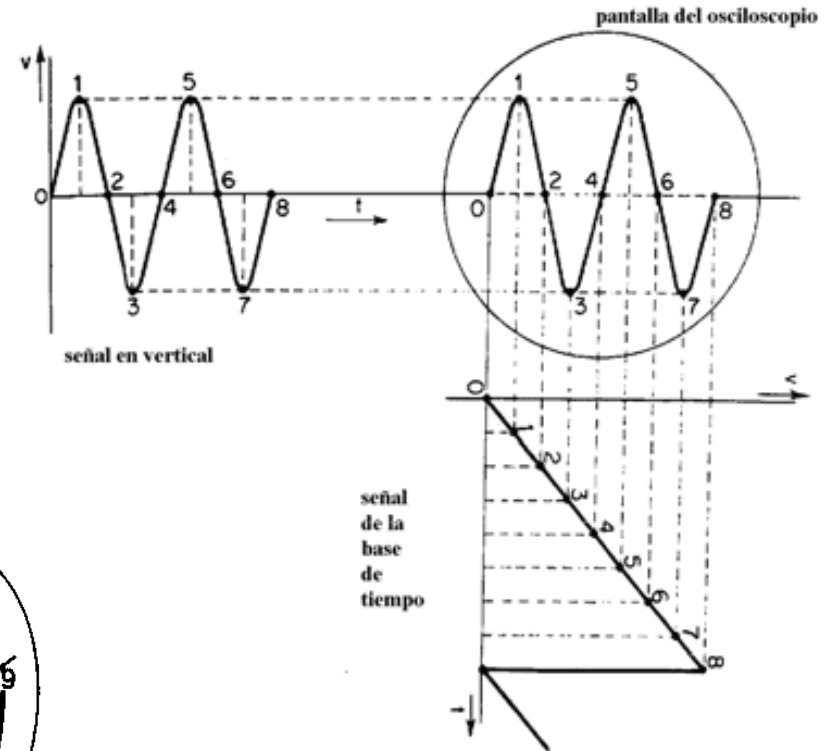
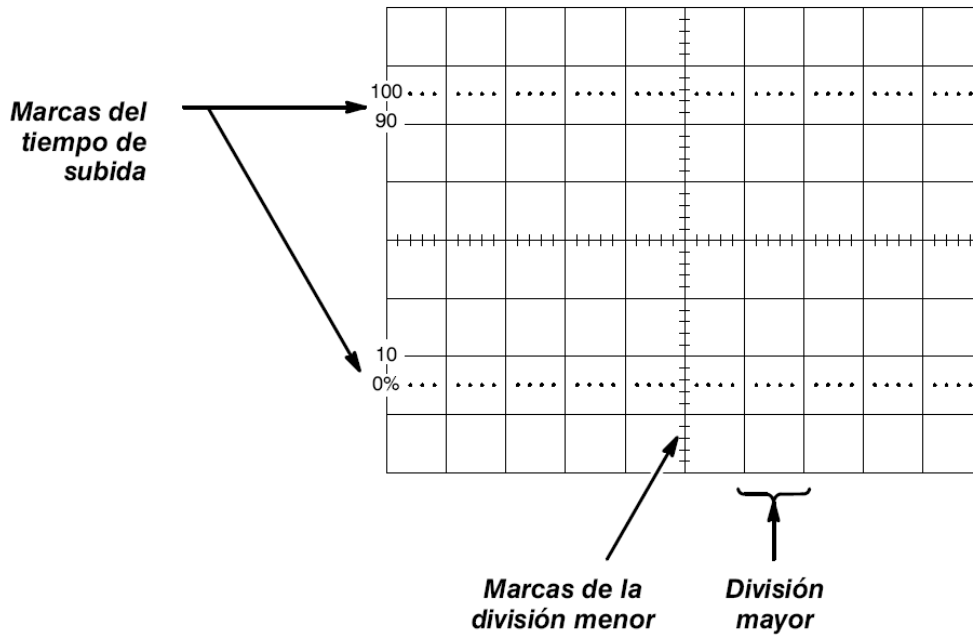
Ánodos de enfoque

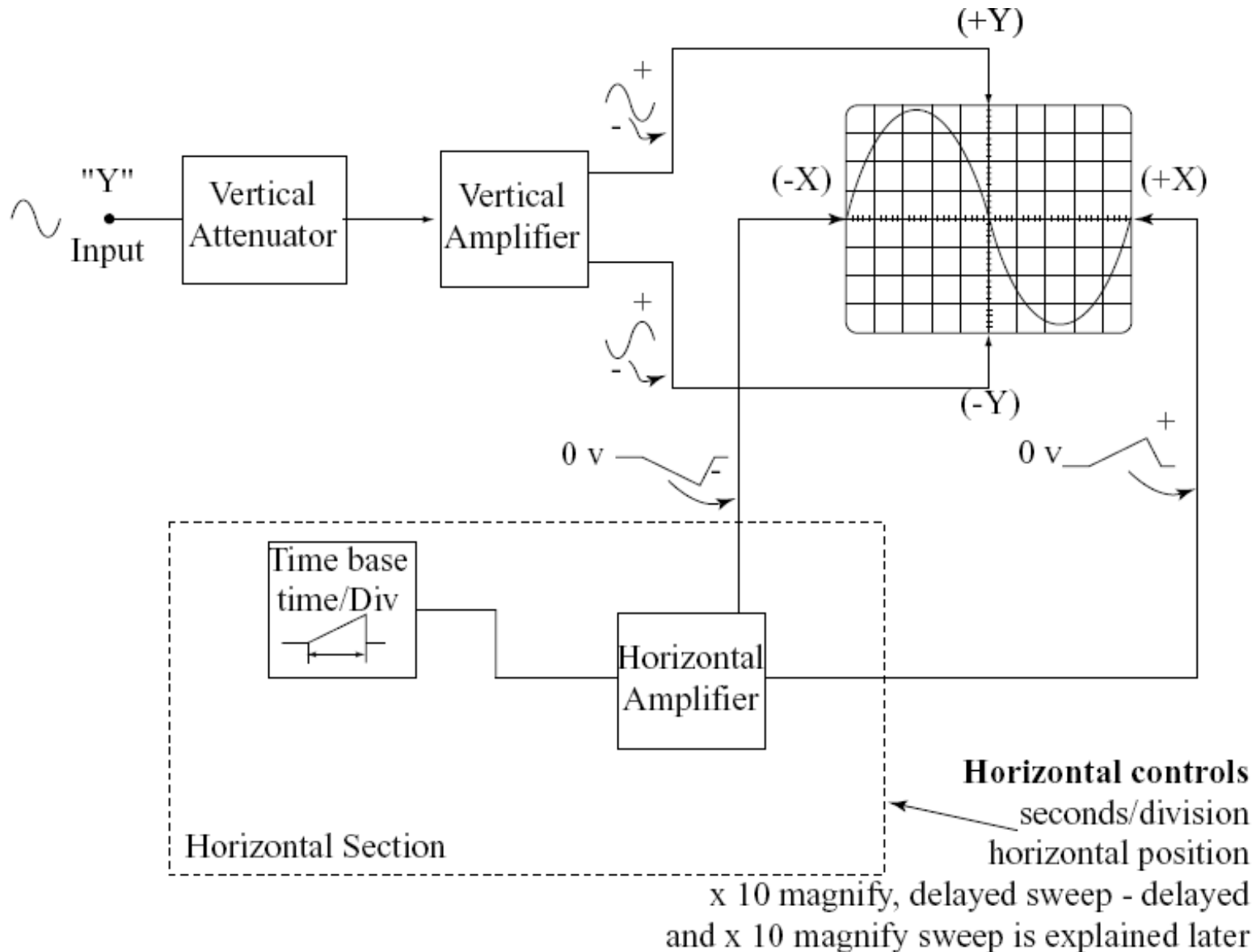


Placas de Deflexión Vertical



Pantalla





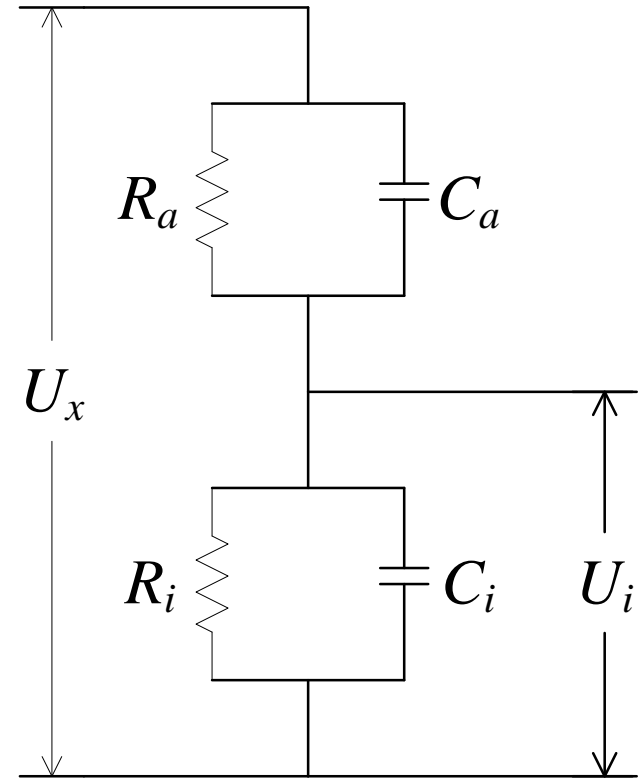
Atenuador Vertical

$$Z_a = \frac{R_a}{1 + j\omega R_a C_a} \quad ; \quad Z_i = \frac{R_i}{1 + j\omega R_i C_i}$$

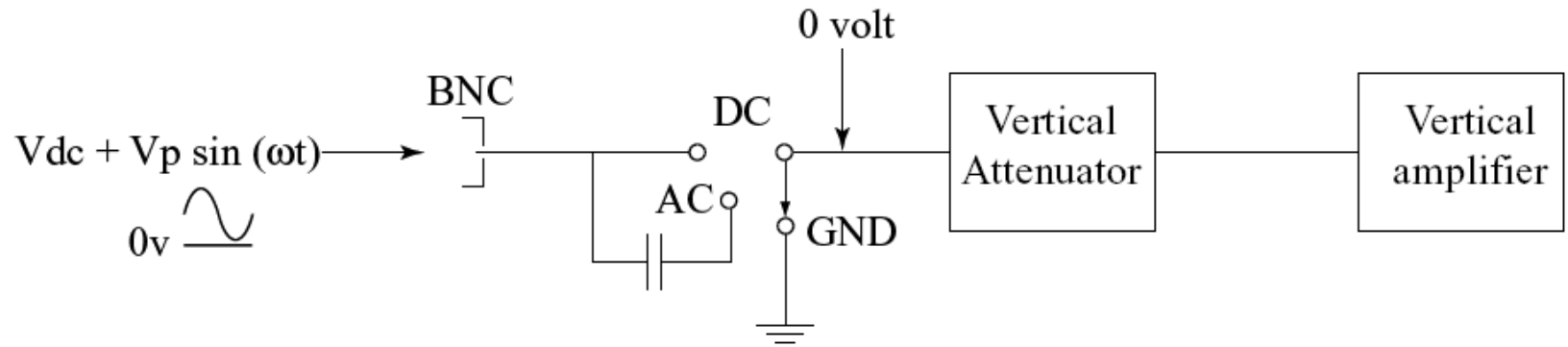
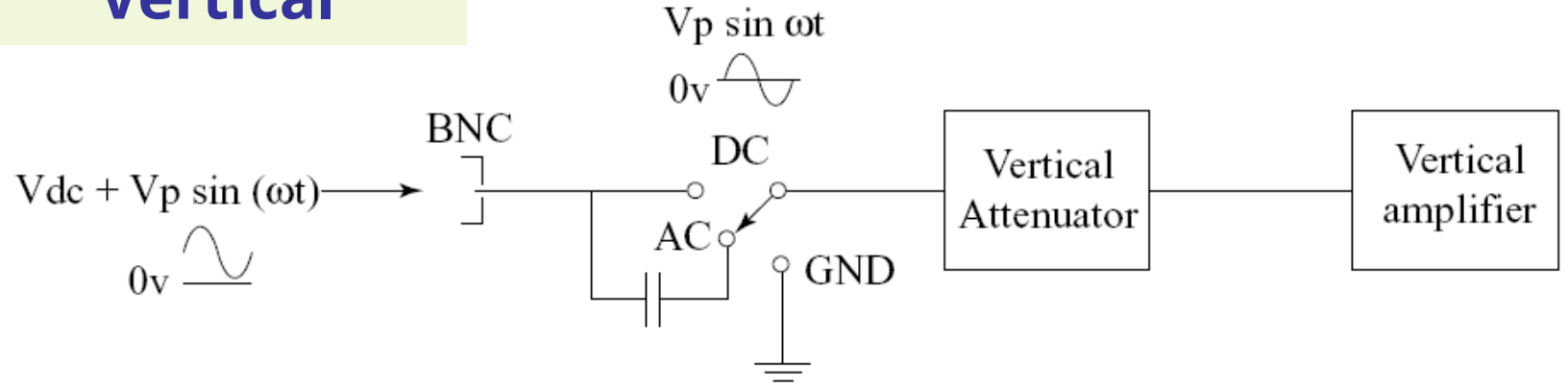
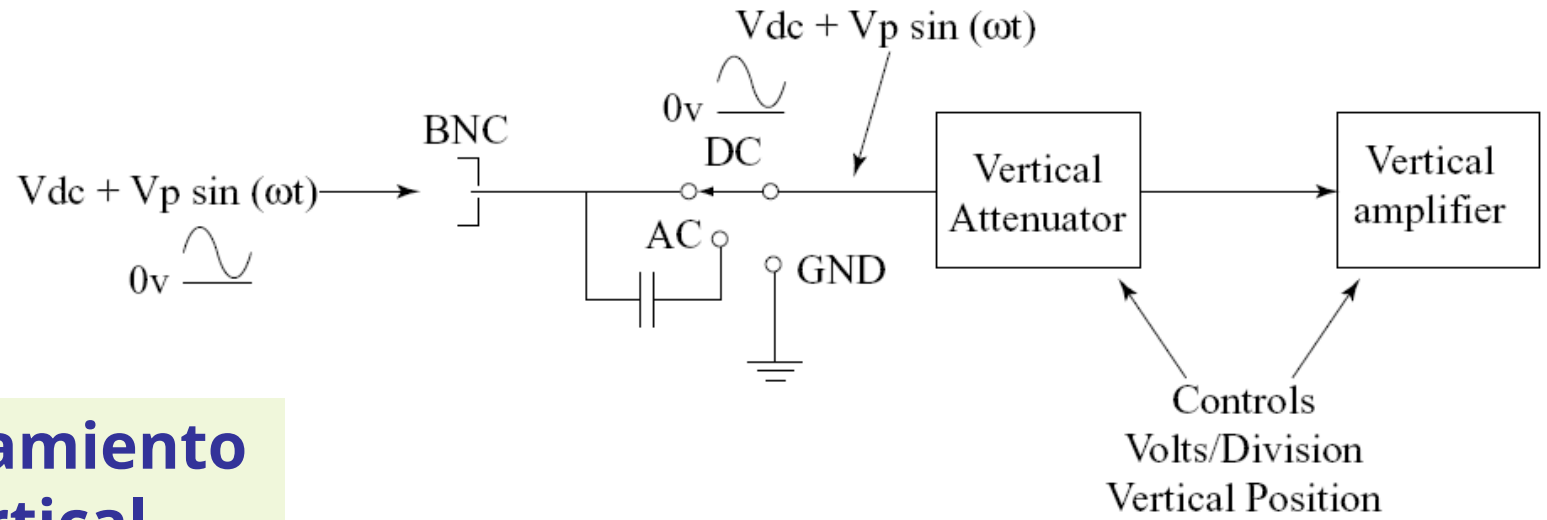
$$\frac{U_i}{U_x} = \frac{\frac{R_i}{1 + j\omega R_i C_i}}{\frac{R_a}{1 + j\omega R_a C_a} + \frac{R_i}{1 + j\omega R_i C_i}}$$

si $R_i C_i = R_a C_a \quad \Rightarrow \quad 1 + j\omega R_a C_a = 1 + j\omega R_i C_i$

$$\Rightarrow \frac{U_i}{U_x} = \frac{R_i}{R_a + R_i}$$



Acoplamiento Vertical



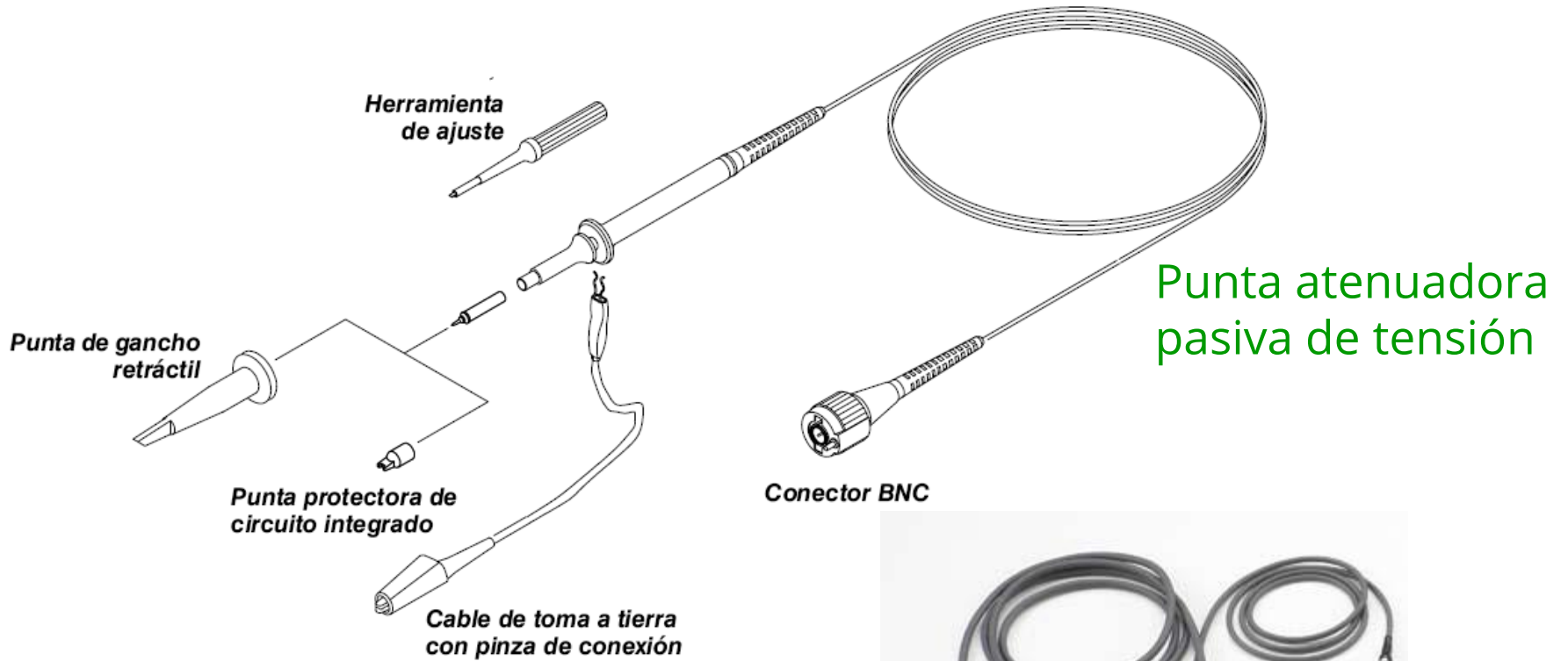
Controles Verticales

Osciloscopio Analógico



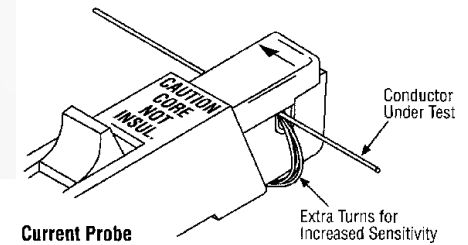
Osciloscopio Digital



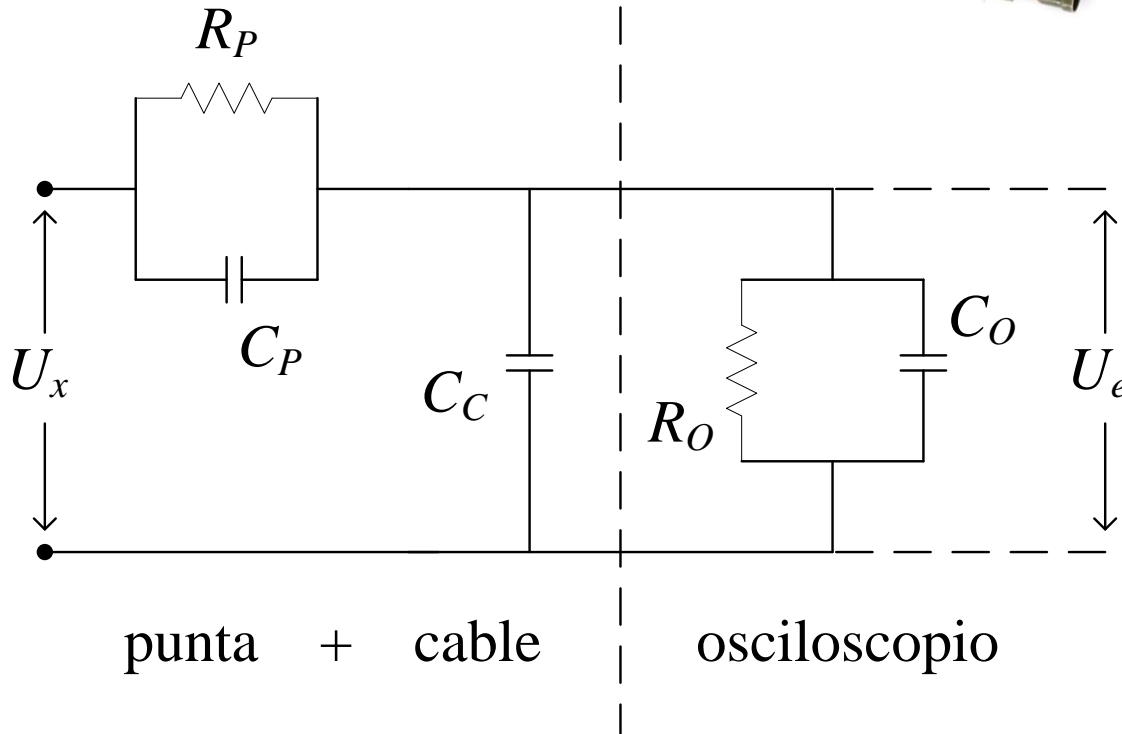
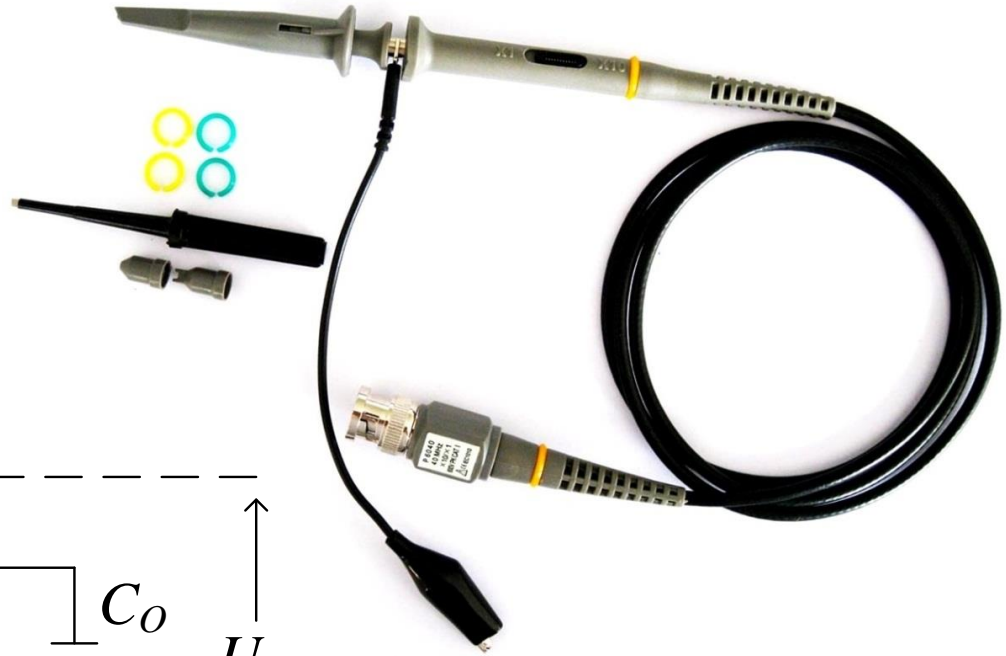


Puntas de Prueba

Punta de corriente

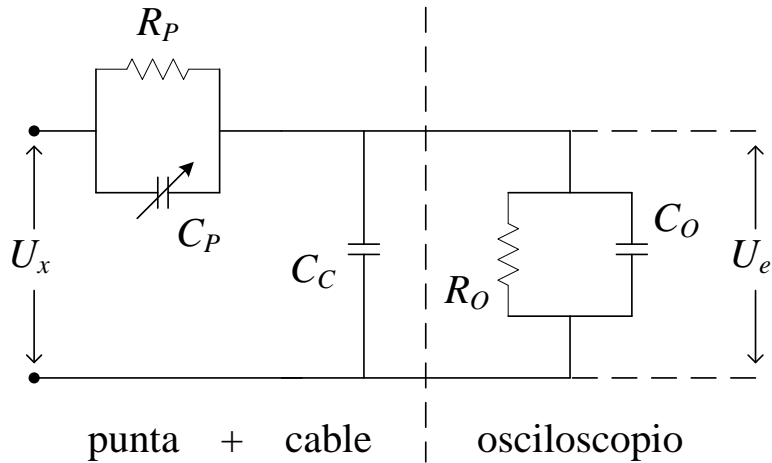


Puntas Atenuadoras Pasivas de Tensión

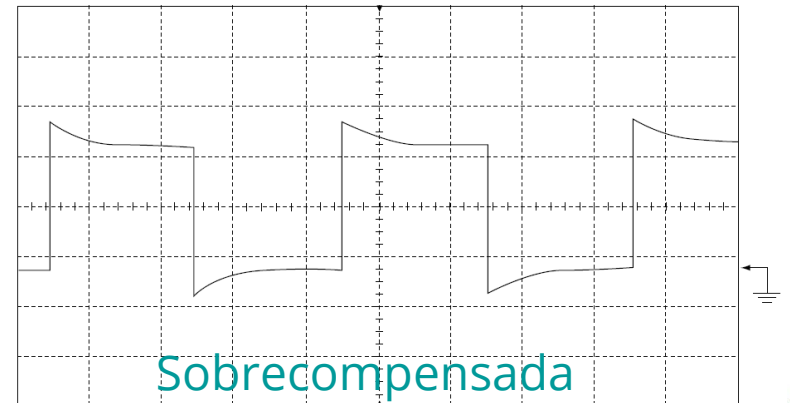
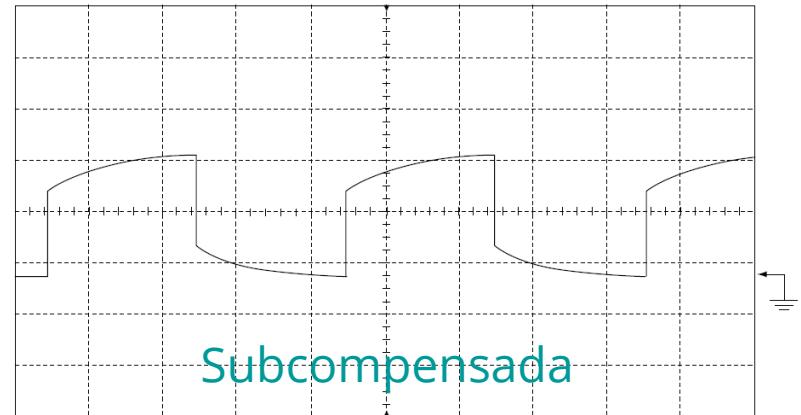
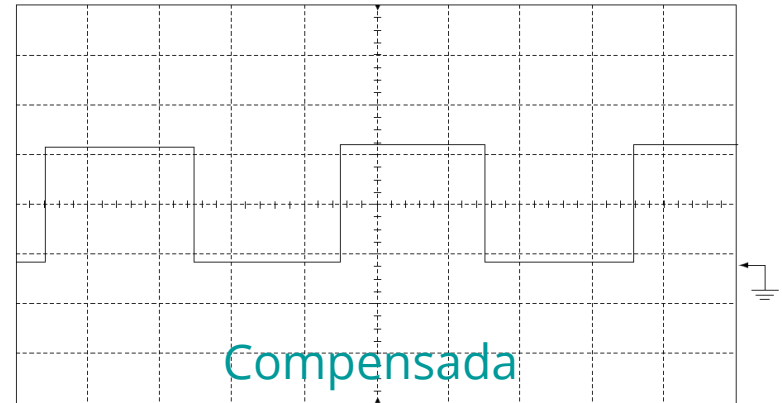
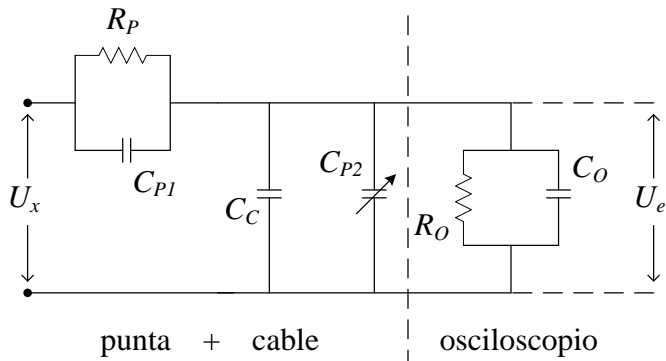


$$R_P C_P = R_O (C_C + C_O) \quad \Rightarrow \quad \frac{U_e}{U_x} = \frac{R_O}{R_P + R_O}$$

Compensación de Puntas Atenuadoras de Tensión



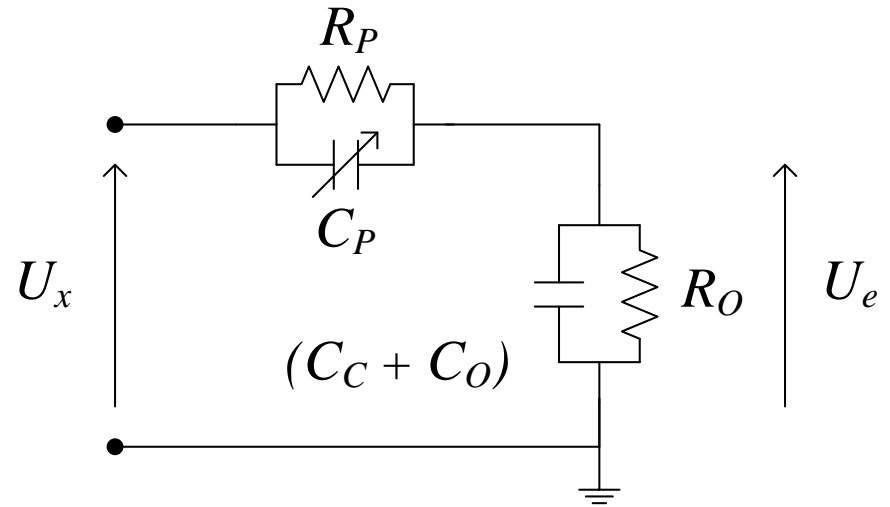
$$R_P C_P = R_O (C_C + C_O)$$



Ejemplo de compensación de una
Punta de Tensión 10X, con $R_O = 1 \text{ M}\Omega$,
 $C_O = 30 \text{ pF}$ y $C_C = 100 \text{ pF}$

$$\frac{U_e}{U_x} = \frac{R_O}{R_P + R_O} = \frac{1}{10}$$

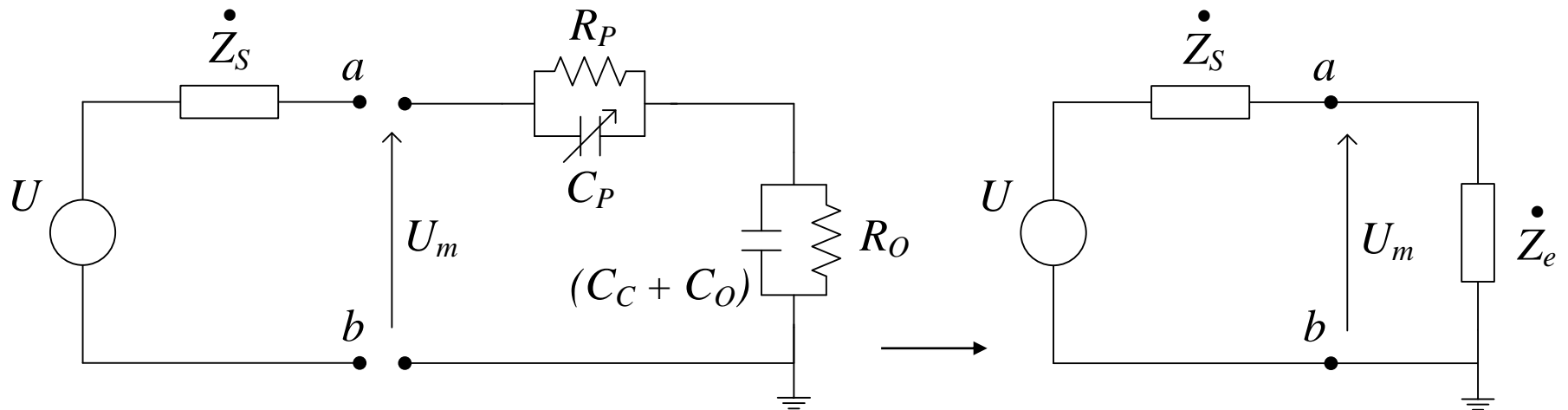
$$\Rightarrow R_P = 9 R_O = 9 \text{ M}\Omega$$



Además: $R_P C_P = R_O (C_C + C_O)$

$$\begin{aligned} \Rightarrow C_P &= \frac{R_O (C_C + C_O)}{R_P} = \frac{1 \text{ M}\Omega (100 + 30) \text{ pF}}{9 \text{ M}\Omega} \\ &= 14,4 \text{ pF} \end{aligned}$$

Error de inserción:



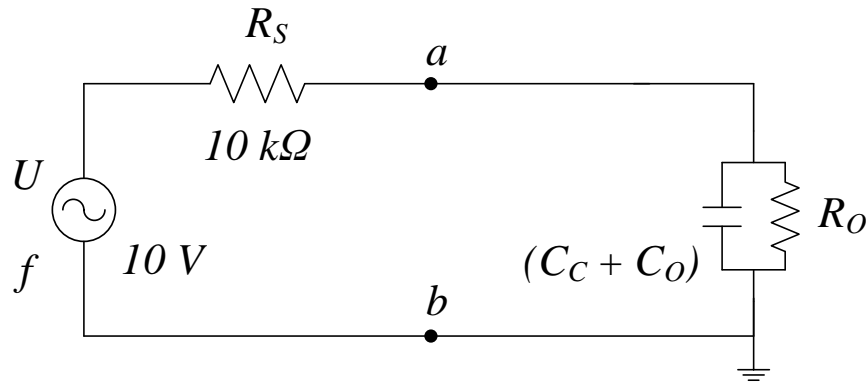
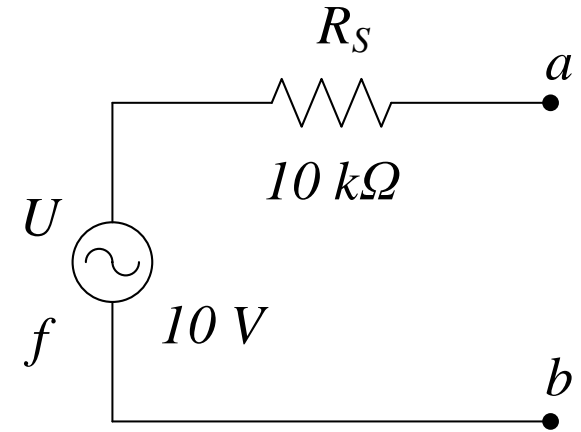
$$e_i = \frac{|U_m| - |U|}{|U|} = \frac{\left| \frac{U \cdot \dot{Z}_e}{\dot{Z}_e + \dot{Z}_S} \right| - |U|}{|U|} \Rightarrow e_i = \frac{|\dot{Z}_e|}{|\dot{Z}_e + \dot{Z}_S|} - 1$$

Ejemplo: Se pretende visualizar la forma de onda entre los bornes **a** y **b** del circuito de la figura, en dos casos, a saber:

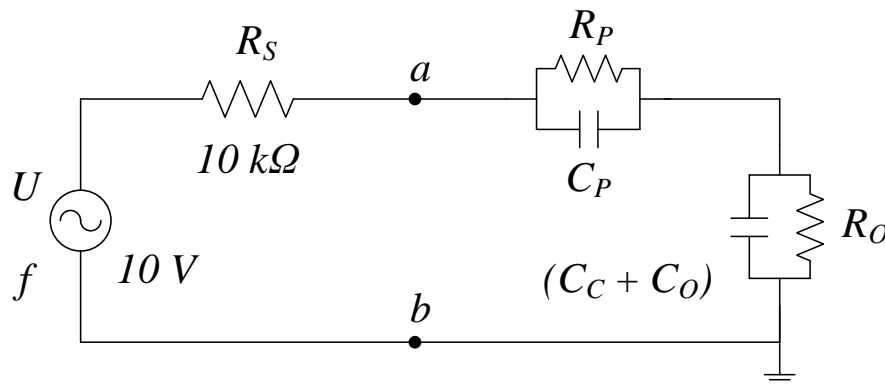
1) $f = 50 \text{ Hz}$ **y** **2)** $f = 50 \text{ kHz}$

¿Qué punta atenuadora elegiría (1X o 10X)?

$R_o = 1 \text{ M}\Omega$; $C_o = 30 \text{ pf}$; $C_c = 100 \text{ pf}$



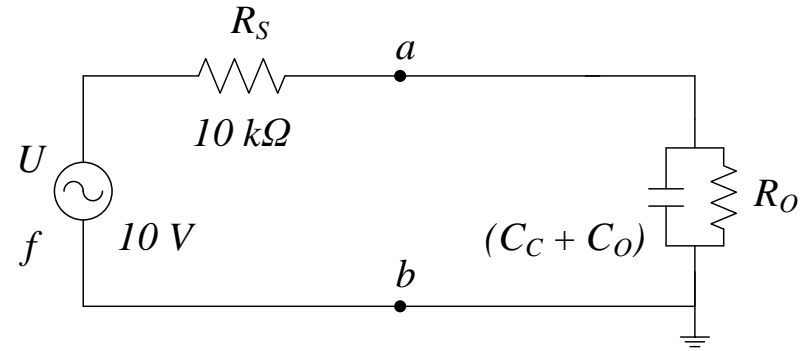
Circuito equivalente para punta 1X



Circuito equivalente para punta 10X

Punta 1X

$$C_C + C_O = 130 \text{ pF} \quad R_O = 1 \text{ M}\Omega$$



Caso 1) $f = 50 \text{ Hz}$

$$X_{(C_C + C_O)} = 24,5 \text{ M}\Omega \gg R_O$$

$$\Rightarrow e_j \approx -100 * \frac{R_S}{R_O} \approx -1 \%$$

Caso 2) $f = 50 \text{ kHz}$

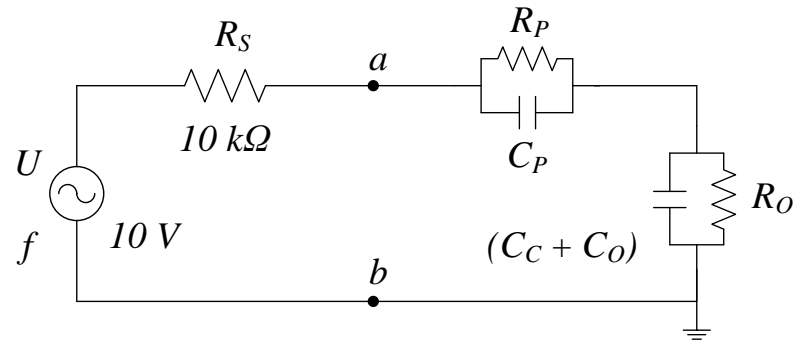
$$X_{(C_C + C_O)} = 24,5 \text{ k}\Omega \ll R_O$$

$$\Rightarrow e_j \approx 100 * \left[\frac{X_{(C_C + C_O)}}{|R_S + jX_{(C_C + C_O)}|} - 1 \right] \approx -7 \%$$

Punta 10X

$$C_C + C_O = 130 \text{ pF} \quad R_O = 1 \text{ M}\Omega$$

$$C_P = 14,4 \text{ pF} \quad R_P = 9 \text{ M}\Omega$$



Caso 1) $f = 50 \text{ Hz}$

$$X_{(C_C + C_O)} = 24,5 \text{ M}\Omega \gg R_O \quad \Rightarrow Z_e \approx R_P + R_O$$

$$X_{C_P} = 221 \text{ M}\Omega \gg R_P$$

$$\Rightarrow e_i \approx -100 * \frac{R_S}{R_P + R_O} \approx -0,1 \%$$

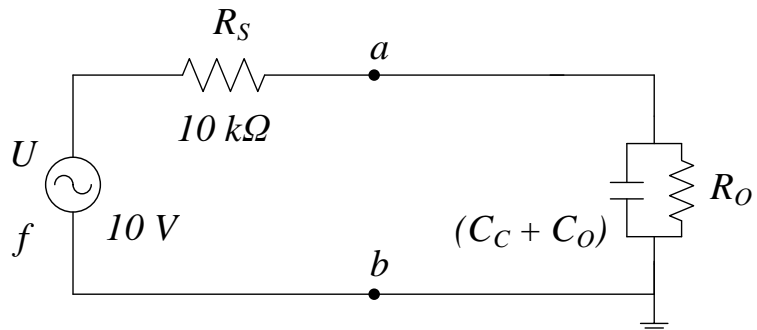
Caso 2) $f = 50 \text{ kHz}$

$$X_{(C_C + C_O)} = 24,5 \text{ k}\Omega \ll R_O \quad \Rightarrow Z_e \approx X_{C_P} + X_{(C_C + C_O)}$$

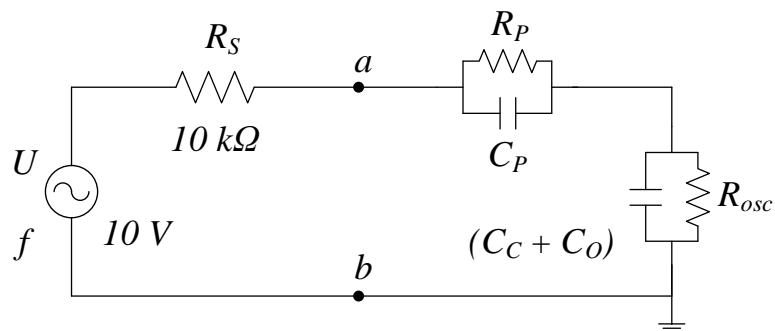
$$X_{C_P} = 221 \text{ k}\Omega \ll R_P$$

$$\Rightarrow e_i \approx 100 * \left[\frac{X_{C_P} + X_{(C_C + C_O)}}{|R_S + j(X_{C_P} + X_{(C_C + C_O)})|} - 1 \right] \approx -0,08 \%$$

Resumiendo:



Punta 1X



Punta 10X

Caso 1)

$$f = 50\text{ Hz}$$

$$e_i \approx -1\%$$

Caso 2)

$$f = 50\text{ kHz}$$

$$e_i \approx -7\%$$

$$e_i \approx -0,1\%$$

$$e_i \approx -0,08\%$$

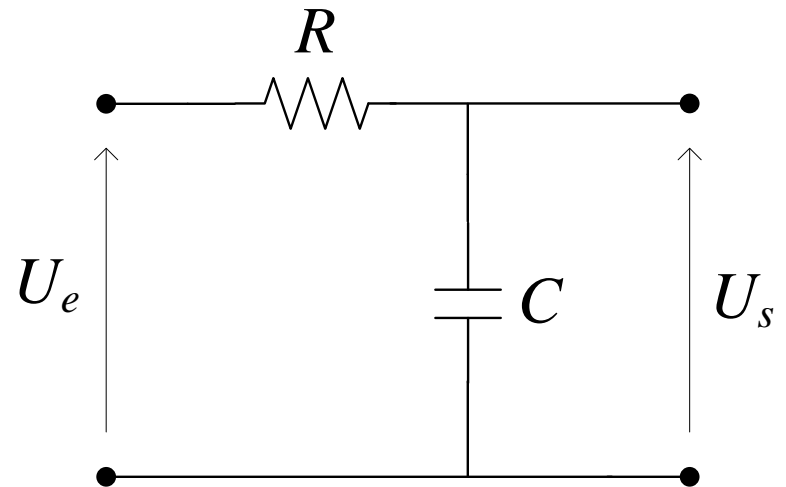
Conclusiones

Ancho de Banda (BW)

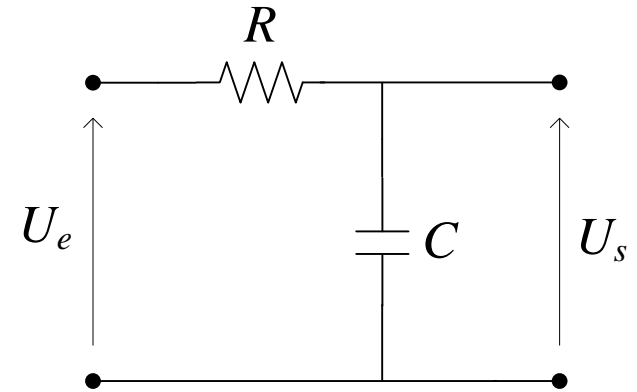
$$\frac{U_e}{R + \frac{1}{j\omega C}} = \frac{U_s}{\frac{1}{j\omega C}}$$

$$\Rightarrow \frac{U_s}{U_e} = \frac{1}{1 + j\omega RC} = \frac{1}{1 + j2\pi f RC}$$

$$\left. \begin{array}{l} \frac{U_s}{U_e} = A \\ \frac{1}{2\pi RC} = f_{cs} \end{array} \right\} \Rightarrow A = \frac{U_s}{U_e} = \frac{1}{1 + j\frac{f}{f_{cs}}}$$



$$A = \frac{U_s}{U_e} = \frac{1}{1 + j \frac{f}{f_{cs}}}$$



$$\left\{ \begin{array}{l} f = 0 \quad \Rightarrow \quad |A| = 1 \\ f = f_{cs} \quad \Rightarrow \quad |A| = \frac{1}{|1 + j1|} = 0,707 \end{array} \right.$$

En la realidad, se tiene:

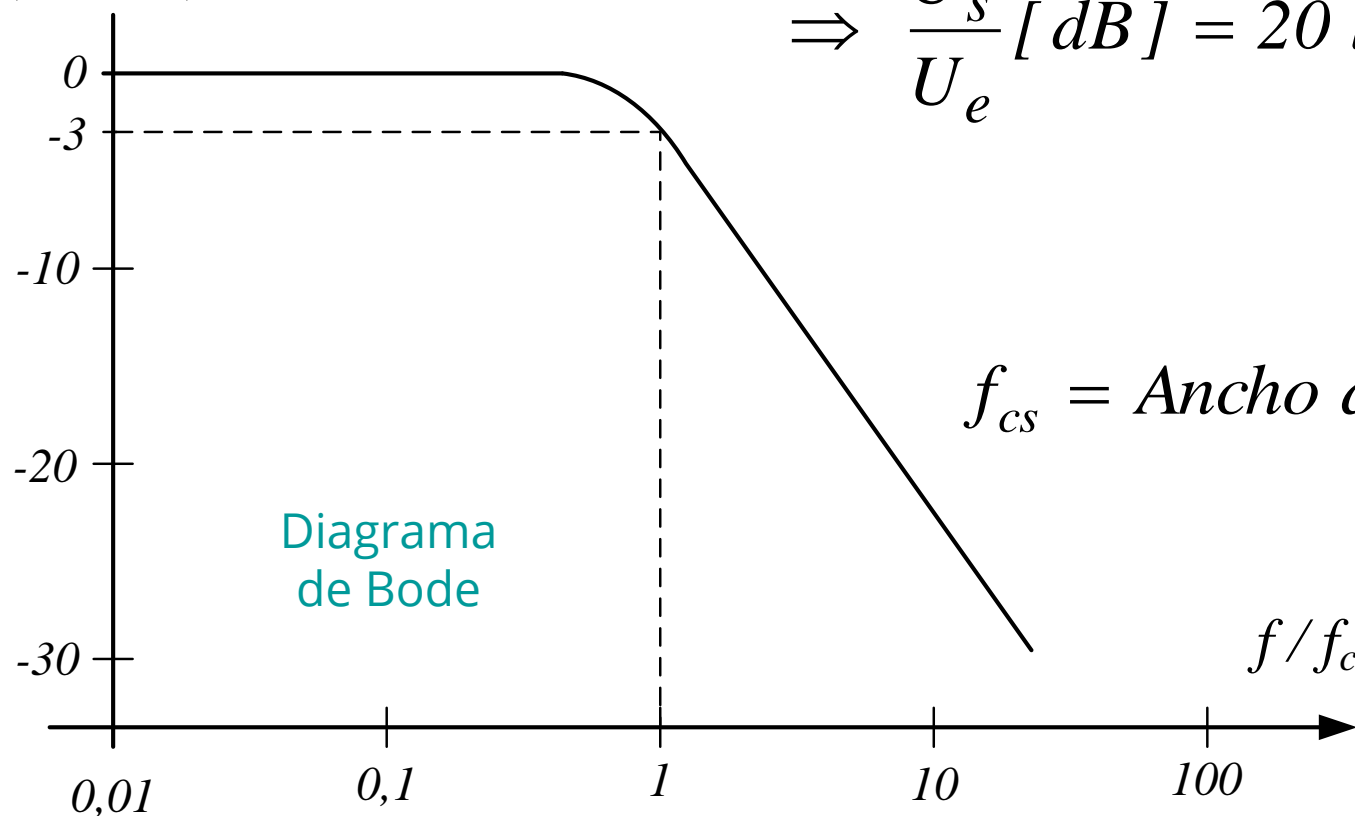
$$\frac{U_s}{U_e} = A = \frac{A_0}{1 + j \frac{f}{f_{cs}}} \quad \Rightarrow \quad \frac{A}{A_0} = \frac{1}{1 + j \frac{f}{f_{cs}}}$$

Expresión en dB

$$\frac{A}{A_0} = \frac{1}{1 + j \frac{f}{f_{cs}}}$$

$$A [dB] = 20 \log \frac{A}{A_0}$$

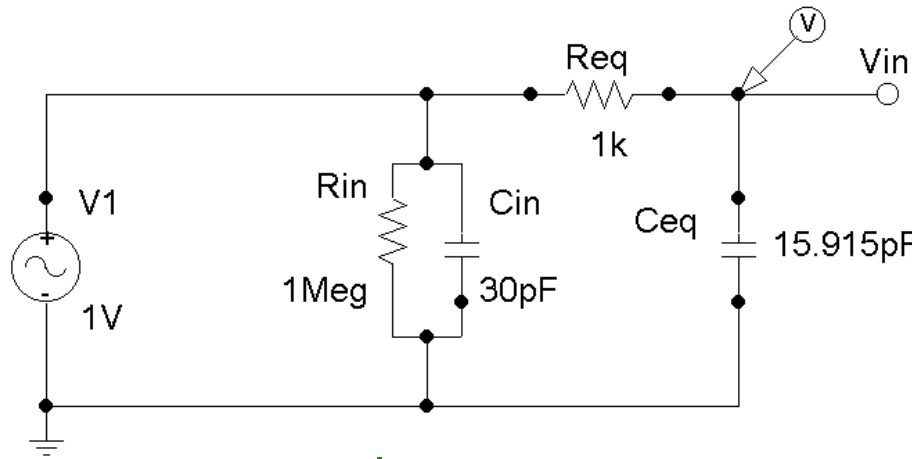
$|U_s/U_e| [dB]$



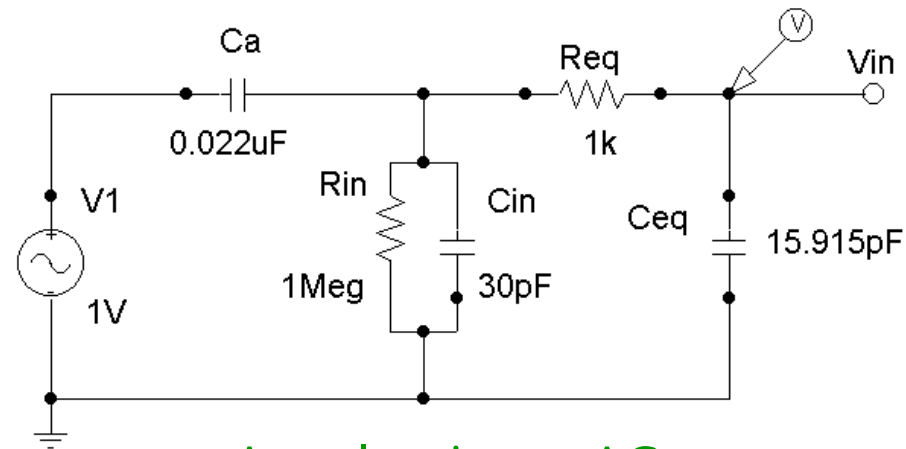
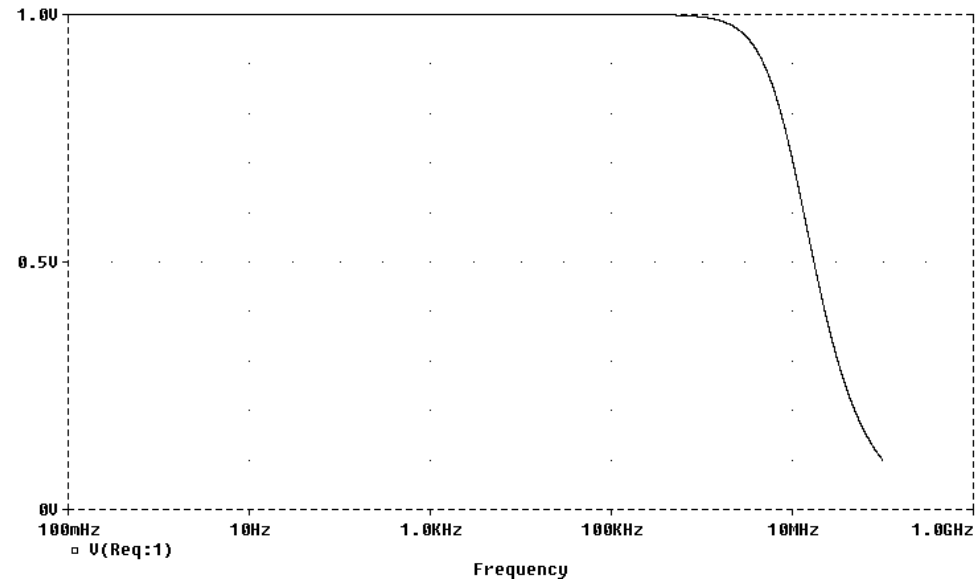
$$\Rightarrow \frac{U_s}{U_e} [dB] = 20 \log \frac{1}{1 + j \frac{f}{f_{cs}}}$$

$f_{cs} = \text{Ancho de banda (BW)}$

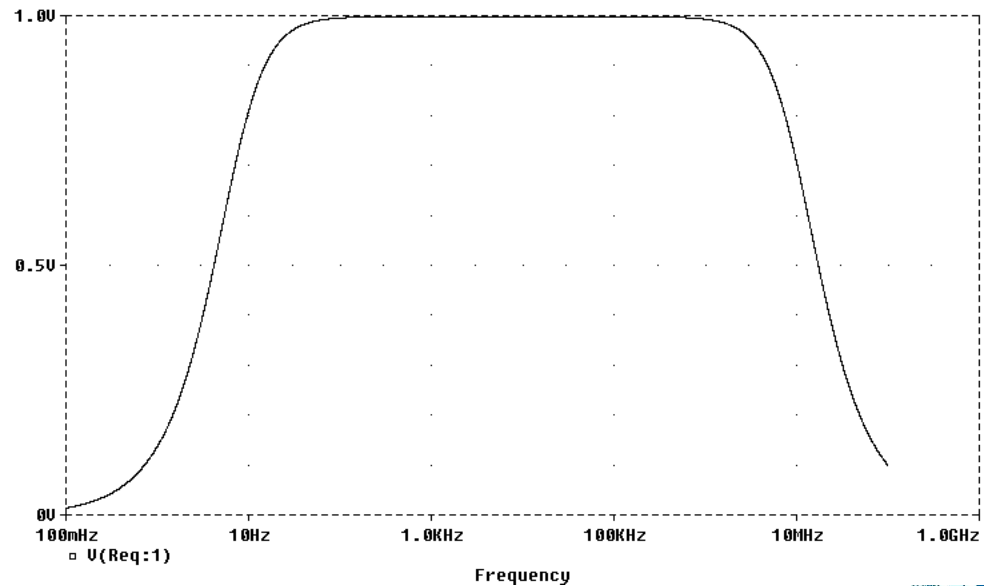
Ejemplo de un osciloscopio con $BW = 10\text{ MHz}$



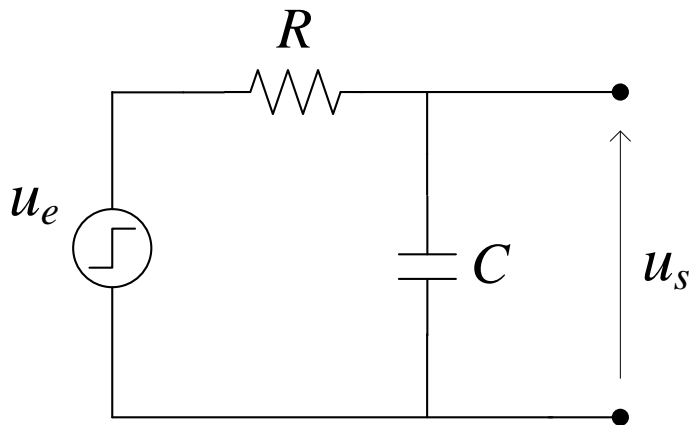
Acoplamiento DC



Acoplamiento AC



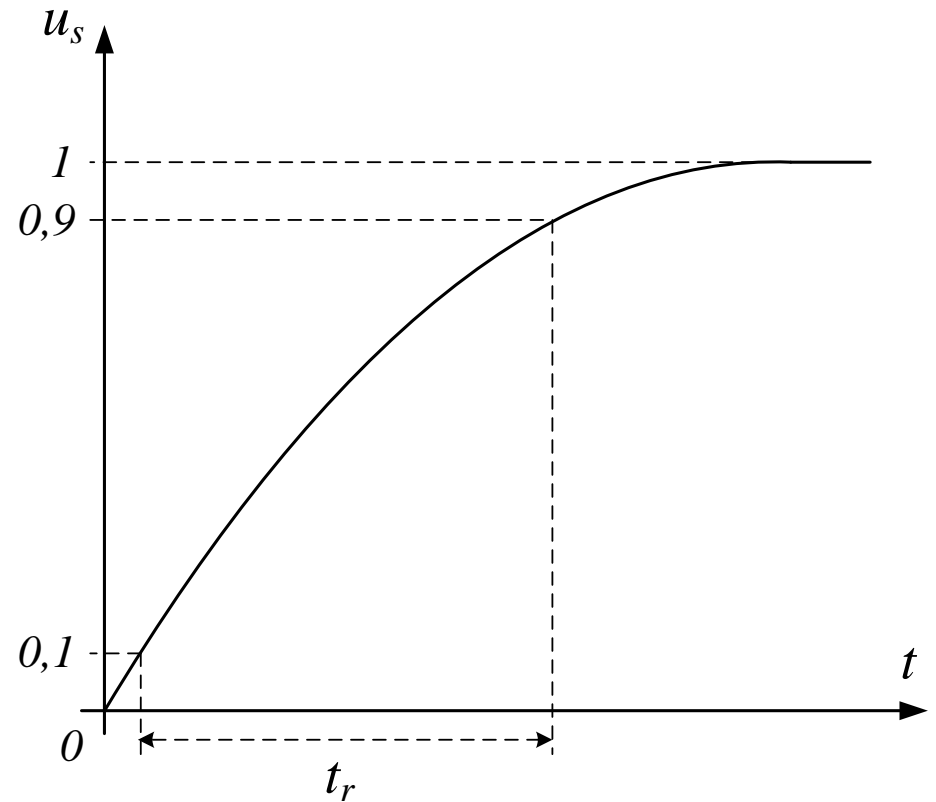
Tiempo de Subida (t_r)



$$u_s = u_e \left(1 - e^{-\frac{t}{RC}} \right)$$

$$\Rightarrow t_r = 2,2 RC$$

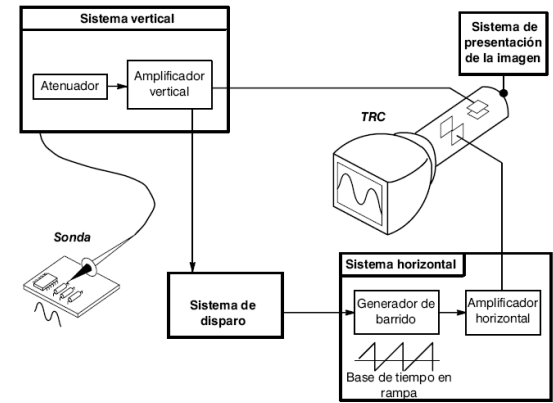
$$\Rightarrow t_r = \frac{2,2}{2 \pi f_{cs}} = \frac{0,35}{f_{cs}} = \frac{0,35}{BW}$$



Con $RC = \frac{1}{2 \pi f_{cs}}$

Tiempo de Subida de un Sistema de Medida

$$t_{r_{medido}} = \sqrt{t_{r_{señal}}^2 + t_{r_{punta}}^2 + t_{r_{osciloscopio}}^2}$$



o también: $t_{r_{medido}} \approx \sqrt{t_{r_{señal}}^2 + t_{r_{osciloscopio}}^2}$

Ejemplos:

a) $t_{r_{osciloscopio}} = \frac{t_{r_{señal}}}{5}$

$$\Rightarrow t_{r_{medido}} = t_{r_{señal}} \sqrt{1 + \frac{1}{25}} = 1,02 t_{r_{señal}}$$

b) $t_{r_{osciloscopio}} = \frac{t_{r_{señal}}}{3}$

$$\Rightarrow t_{r_{medido}} = 1,05 t_{r_{señal}}$$